

Лекция 5

Бибердорф Э.А.

Решение плохо обусловленных СЛАУ

Регуляризация плохо обусловленной системы

$$Ax = f.$$

Для многих приложений характерна ситуация, когда число обусловленности системы велико. В таких случаях говорят, что система плохо обусловлена. Эти системы могут быть практически неразрешимы, тем более что вектор правой части тоже может быть задан с погрешностью Δf , т.е. на самом деле вычисляется решение $x + \Delta x$ системы

$$A(x + \Delta x) = f + \Delta f.$$

Регуляризация с использованием сингулярного разложения

$$[U_1 U_2] \begin{bmatrix} \Sigma_1 & 0 \\ 0 & \Sigma_2 \end{bmatrix} \begin{bmatrix} V_1^* \\ V_2^* \end{bmatrix} x = f, \quad \Sigma_2 \approx 0$$

Аппроксимируем матрицу

$$[U_1 U_2] \begin{bmatrix} \Sigma_1 & 0 \\ 0 & 0 \end{bmatrix} \begin{bmatrix} V_1^* \\ V_2^* \end{bmatrix} x \approx f,$$

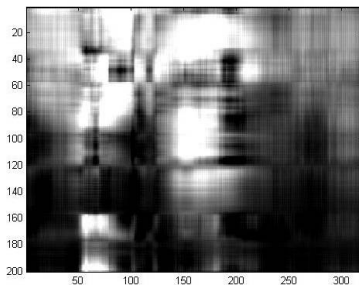
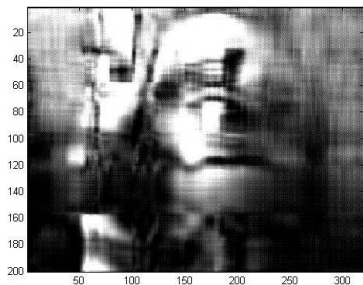
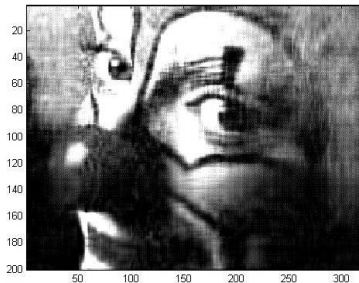
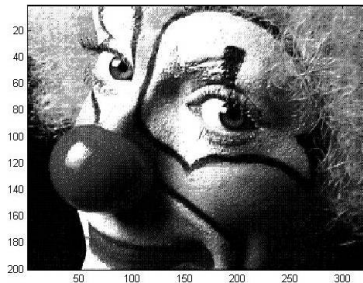
$$\begin{bmatrix} \Sigma_1 & 0 \\ 0 & 0 \end{bmatrix} \begin{bmatrix} V_1^* \\ V_2^* \end{bmatrix} x \approx \begin{bmatrix} U_1^* \\ U_2^* \end{bmatrix} f,$$

Приближенное решение

$$x \approx V_1 \Sigma_1^{-1} U_1^* f$$

Выбор матрицы Σ_2

Выбор матрицы Σ_2



Регуляризация по Годунову

Исходная и дополнительная системы

$$Ax = f, \quad Bx = g.$$

Причем вектор g может быть даже неизвестен!

Выберем число τ : $\tau\|g\| \approx \|\Delta f\|$

Составная система и составная система с возмущенной правой частью

$$\begin{bmatrix} (1 - \tau)A \\ \tau B \end{bmatrix} x = \begin{bmatrix} (1 - \tau)f \\ \tau g \end{bmatrix}, \quad \begin{bmatrix} (1 - \tau)A \\ \tau B \end{bmatrix} (x + \Delta x) = \begin{bmatrix} (1 - \tau)(f + \Delta f) \\ 0 \end{bmatrix}$$

Погрешность правой части составной системы имеет тот же порядок, что и погрешность правой части исходной системы. Расширение системы не вносит дополнительных погрешностей.

$$\mu(A) \geq \mu \left(\begin{bmatrix} (1 - \tau)A \\ \tau B \end{bmatrix} \right).$$

Решение интегрального уравнения первого рода

$$\int_a^b K(s, t)x(t)dt = f(s), \quad c \leq s \leq d.$$

Предполагаем, что решение дважды непрерывно дифференцируемо

1. Дискретизация по t . $t_j = a + (b - a)(j - 1)/(M - 1)$. Функция

$$\tilde{x}(t) = \frac{x(t_j)(t_{j+1} - t) + x(t_{j+1})(t - t_j)}{t_{j+1} - t_j}.$$

совпадает с искомым решением $x(t)$ в точках t_j , а между ними является ее линейным приближением

$$|\tilde{x}(t) - x(t)| \leq \frac{(b - a)^2}{8(M - 1)^2} \max_{a \leq \xi \leq b} |x''(\xi)|, \quad t_j \leq t, \xi \leq t_{j+1}.$$

Решение интегрального уравнения. Дискретизация.

Обозначим $x_j = x(t_j) = \tilde{x}(t_j)$ искомые значения функции $x(t)$.

$$\int_a^b K(s, t) \tilde{x}(t) dt =$$
$$= \sum_{j=1}^{M-1} x_j \int_{t_j}^{t_{j+1}} K(s, t) \frac{t_{j+1} - t}{t_{j+1} - t_j} dt + x_{j+1} \int_{t_j}^{t_{j+1}} K(s, t) \frac{t - t_j}{t_{j+1} - t_j} dt = \sum_{j=1}^M a_j(s) x_j,$$

где

$$a_1(s) = \int_{t_1}^{t_2} K(s, t) \frac{t_2 - t}{t_2 - t_1} dt,$$
$$a_j(s) = \int_{t_{j-1}}^{t_j} K(s, t) \frac{t - t_{j-1}}{t_j - t_{j-1}} dt + \int_{t_j}^{t_{j+1}} K(s, t) \frac{t_{j+1} - t}{t_{j+1} - t_j} dt$$
$$a_M(s) = \int_{t_{M-1}}^{t_M} K(s, t) \frac{t - t_{M-1}}{t_M - t_{M-1}} dt.$$

Решение интегрального уравнения. Дискретизация.

2. Дискретизация по s . Пусть $s_i = c + (d - c)(i - 1)/(N - 1)$ и $a_{ij} = a_j(s_i)$. Тогда в точках s_i

$$\sum_{j=1}^M a_{ij} x_j = \tilde{f}_i = \tilde{f}(s_i) \quad (1 \leq i \leq N).$$

Заметим, что, функция \tilde{f} , а следовательно, и значения \tilde{f}_i неизвестны. Однако $\tilde{f}_i \approx f_i$, и точное уравнение

$$Ax = \tilde{f}$$

можно заменить приближенным

$$Ax = f.$$

Решение инт.ур-я. Оценка для правой части

$$\tilde{f}(s) = \int_a^b K(s, t) \tilde{x}(t) dt.$$

Тогда

$$|\tilde{f}(s) - f(s)| \leq \int_a^b |K(s, t)| |\tilde{x}(t) - x(t)| dt \leq \max_{a \leq \xi \leq b} |x''(\xi)| \frac{(b-a)^2}{8(M-1)^2} \int_a^b |K(s, t)| dt.$$

Решение инт.ур-я. Дополнительные уравнения

Ограниченность второй производной

$$\frac{x_{j+1} - 2x_j + x_{j-1}}{(\Delta t)^2} = \frac{x_{j+1} - 2x_j + x_{j-1}}{((b-a)/(M-1))^2} = g_j$$

с не слишком большими коэффициентами g_j . Построим матрицу B по правилу:

$$\begin{aligned} b_{i,j} &= 0 \quad \text{при } |i-j| \geq 2, \\ b_{j,j} &= \frac{-2}{((b-a)/(M-1))^2}, \\ b_{j-1,j} &= b_{j+1,j} = \frac{1}{((b-a)/(M-1))^2}. \end{aligned}$$

Получим систему $Bx = g$.

Решение инт.ур-я. Регуляризация.

Объединяем системы $Ax = f$ и $Bx = g$:

$$\begin{pmatrix} (1-\tau)A \\ \tau B \end{pmatrix} x = \begin{pmatrix} (1-\tau)f \\ \tau g \end{pmatrix}, \quad \tau \|g\| \approx \|\tilde{f} - f\|$$

Так как

$$g_i = \frac{x(t_i + \delta) - 2x(t_i) + x(t_i - \delta)}{\delta^2} = x''(\xi), \quad \begin{aligned} t_i - \delta &\leq \xi \leq t_i + \delta, \\ \delta &= (b-a)/(M-1) \end{aligned}$$

и

$$|\tilde{f}(s) - f(s)| \leq \int_a^b |K(s, t)| |\tilde{x}(t) - x(t)| dt \leq \max_{a \leq \xi \leq b} |x''(\xi)| \frac{(b-a)^2}{8(M-1)^2} \int_a^b |K(s, t)| dt.$$

то

$$\tau \approx \frac{(b-a)^2}{8(M-1)^2} \int_a^b |K(s, t)| dt.$$

Регуляризованная система

$$\begin{bmatrix} (1-\tau)A \\ \tau B \end{bmatrix} x = \begin{bmatrix} (1-\tau)f \\ 0 \end{bmatrix}.$$

Задача об ускоряемом пучке заряженных частиц

Определение распределения плотности частиц, восстановление формы профиля пучка с помощью второго пучка частиц, распределение плотности частиц в котором известно, сводится к решению интегрального уравнения Фредгольма первого рода:

$$Ax \equiv \int_{-\infty}^{\infty} K(s, t)x(t)dt = f(s),$$

где ядро $K(s, t)$ описывает известное распределение плотности частиц во втором пучке.

Пусть ответ заранее известен $x(t) = e^{-t^2/\sigma_2^2}$. Распределение Гаусса:

$$K_g(s, t) = e^{-(t-s)^2/\sigma_1^2}.$$

Задача об ускоряемом пучке. Дискретизация.

Отрезок интегрирования заменяем конечным $a_t \leq t \leq b_t$ и делим на $M - 1$ равных частей

$$t_j = a_t + (b_t - a_t)(j - 1)/(M - 1) \quad \text{и} \quad \Delta t = (b_t - a_t)/(M - 1).$$

Разделим отрезок $a_s \leq s \leq b_s$ на $N - 1$ равных частей точками

$$s_i = a_s + (b_s - a_s)(i - 1)/(N - 1) \quad (1 \leq i \leq N)$$

Матрица:

$$a_{ij} = a_j(s_i) = e^{\frac{-(t_j - s_i)^2}{\sigma_1^2}} \Delta t.$$

Правая часть:

$$f_i = f(s_i) = \frac{e^{-\frac{s_i^2}{\sigma_1^2 + \sigma_2^2}}}{\sqrt{\sigma_1^2 + \sigma_2^2}} \sigma_1 \sigma_2 \sqrt{\pi}.$$

Параметры и результаты счета

- 1) $\sigma_1 = 4, 0, \sigma_2 = 3, 0$;
- 2) для аргумента t : границы интервала $a_t = -16, 0, b_t = 16, 0$, интервал разбивался на $M - 1$ равных частей, где $M = 51$;
- 3) для аргумента s : границы интервала $a_s = -16, 0, b_s = 16, 0$, интервал разбивался на $N - 1$ равных частей, где $N = 91$.

Результаты вычислений:

$$\mu(A) > 10^{14} \Rightarrow \text{система практически неразрешима}$$

Выбираем $\tau = 10^{-9}$, тогда число обусловленности составной матрицы равно

$$\mu(C) = 4,91587 \cdot 10^7.$$

Гарантированная оценка относительной погрешности решения системы $\epsilon_x = 5,86525 \cdot 10^{-3}$. Так как нам известно точное решение x , то мы имеем возможность вычислить реальную погрешность

$$\|\tilde{x} - x\|/\|x\| = 1,02059 \cdot 10^{-5},$$

которая включает в себя, кроме погрешности решения системы, также погрешность дискретизации и вычисления интегралов.

Проблемы несимметричной спектральной проблемы

Обобщение понятия спектра

λ - собственное значение A :

$$\Rightarrow \det(A - \lambda I) = 0 \Leftrightarrow \|(A - \lambda I)^{-1}\| = \infty \Leftrightarrow \sigma_{\min}(A - \lambda I) = 0$$

Обобщение понятия спектра

λ - собственное значение A :

$$\Rightarrow \det(A - \lambda I) = 0 \Leftrightarrow \|(A - \lambda I)^{-1}\| = \infty \Leftrightarrow \sigma_{\min}(A - \lambda I) = 0$$

λ близко к собственному значению матрицы A :

$$\Rightarrow \det(A - \lambda I) \approx 0 \Leftrightarrow \|(A - \lambda I)^{-1}\| \gg 1 \Leftrightarrow \sigma_{\min}(A - \lambda I) \approx 0$$

Обобщение понятия спектра

λ - собственное значение A :

$$\Rightarrow \det(A - \lambda I) = 0 \Leftrightarrow \|(A - \lambda I)^{-1}\| = \infty \Leftrightarrow \sigma_{\min}(A - \lambda I) = 0$$

λ близко к собственному значению матрицы A :

$$\Rightarrow \det(A - \lambda I) \approx 0 \Leftrightarrow \|(A - \lambda I)^{-1}\| \gg 1 \Leftrightarrow \sigma_{\min}(A - \lambda I) \approx 0$$

ε -спектр:

$$\lambda \in \sigma_{\varepsilon}(A) \Leftrightarrow \sigma_{\min}(A - \lambda I) \leq \varepsilon$$

Изображение ε -спектра - изображение соответствующих линий уровня функции $f(\lambda) = \sigma_{\min}(A - \lambda I)$ (или $\sigma_{\min}^{-1}(A - \lambda I)$)

ε -спектр

ε -спектр – это множество λ : $\sigma_{\min}(A - \lambda I) \leq \varepsilon$.

$\lambda \in \varepsilon$ -спектр матрицы A if \exists матрица B , $\|B\| \leq \varepsilon$: $\lambda \in \sigma(A + B)$

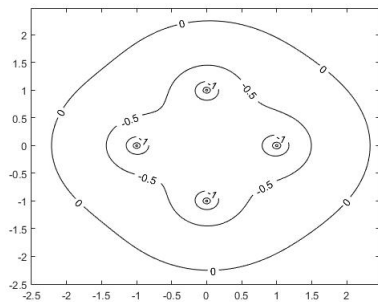
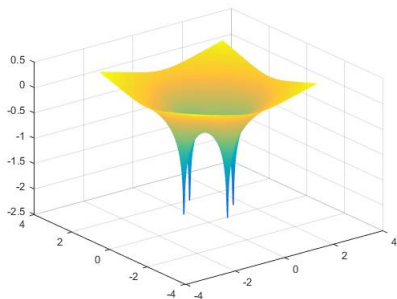
$$A - \lambda I = U \begin{pmatrix} \sigma_{\max} & & \\ & \ddots & \\ & & \sigma_{\min} \end{pmatrix} V$$

$$B = U \begin{pmatrix} 0 & & \\ & \ddots & \\ & & -\sigma_{\min} \end{pmatrix} V$$

$$\det(A + B - \lambda I) = 0; \quad \|B\| = \sigma_{\min}(A - \lambda I)$$

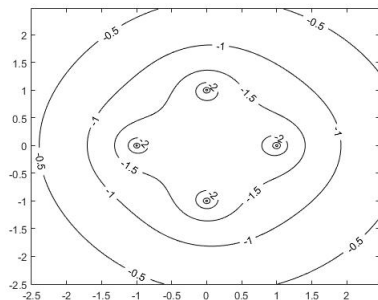
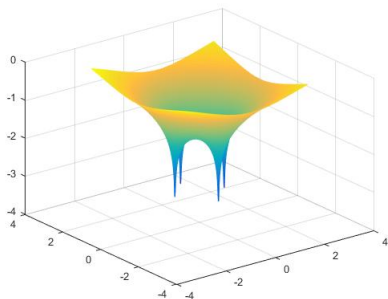
ε -спектр

$$\begin{pmatrix} 0 & -1 & 1 & 1 \\ 1 & 0 & 1 & 1 \\ 0 & 0 & -1 & 1 \\ 0 & 0 & 0 & 1 \end{pmatrix}$$



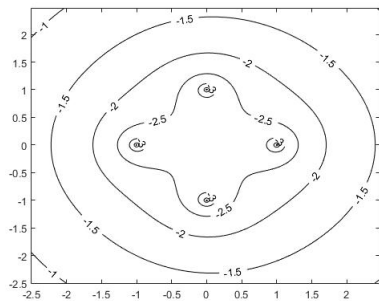
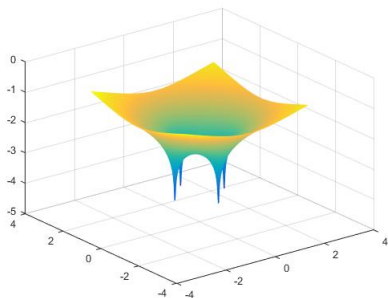
ε -спектр

$$\begin{pmatrix} 0 & -1 & 5 & 5 \\ 1 & 0 & 5 & 5 \\ 0 & 0 & -1 & 5 \\ 0 & 0 & 0 & 1 \end{pmatrix}$$

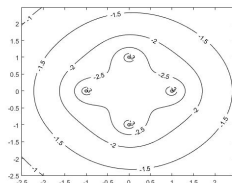
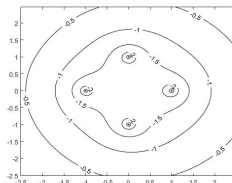
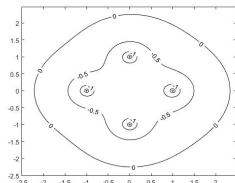
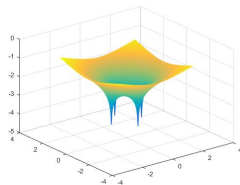
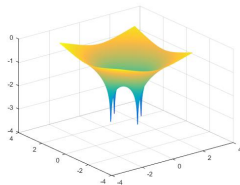
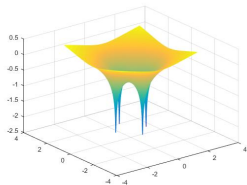


ε -спектр

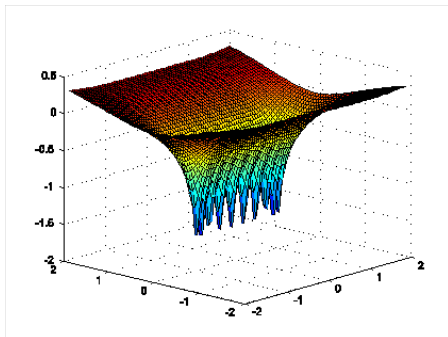
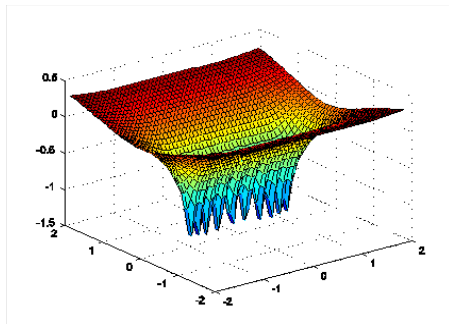
$$\begin{pmatrix} 0 & -1 & 15 & 15 \\ 1 & 0 & 15 & 15 \\ 0 & 0 & -1 & 15 \\ 0 & 0 & 0 & 1 \end{pmatrix}$$



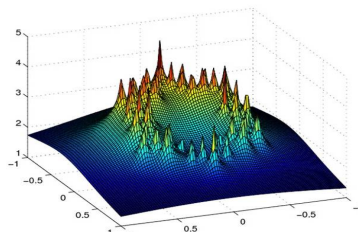
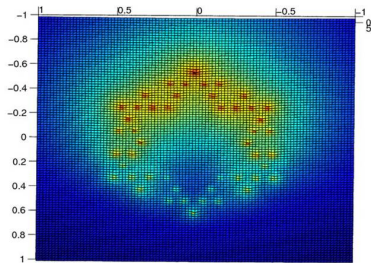
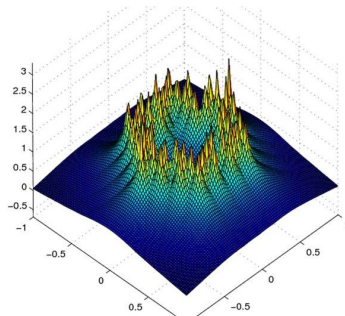
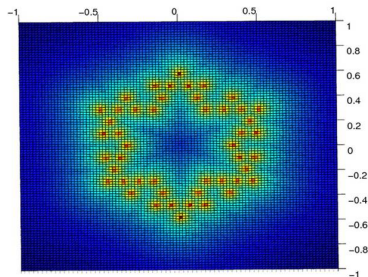
ε -спектр



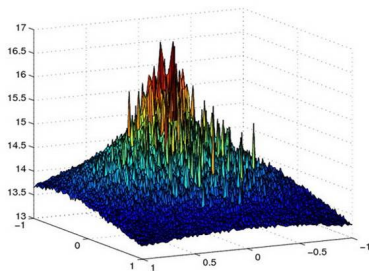
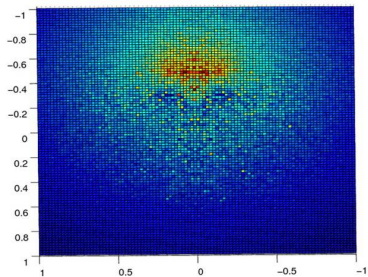
ε -спектр симметричных матриц



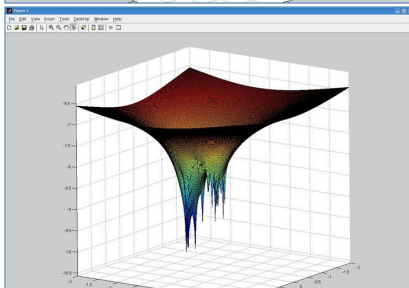
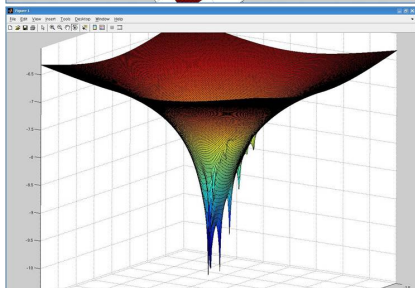
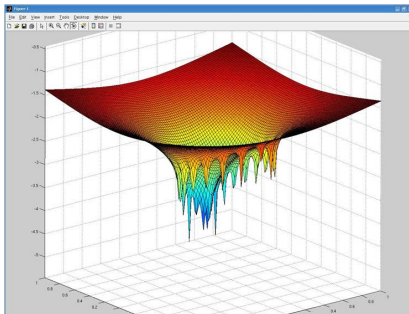
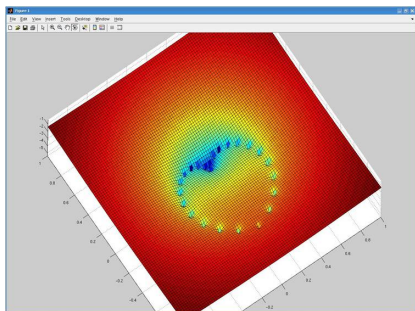
Другие примеры



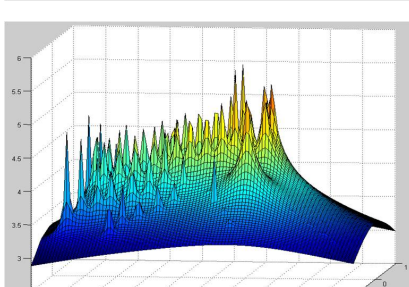
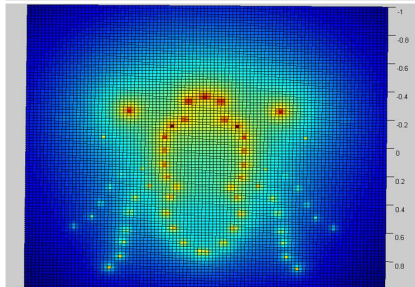
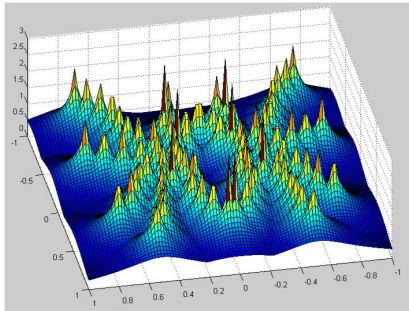
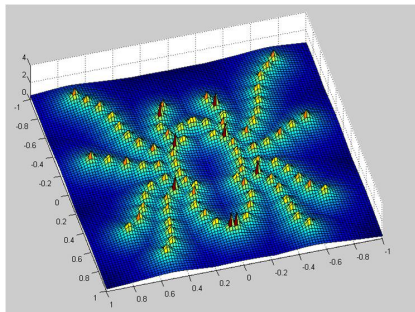
Другие примеры



Другие примеры

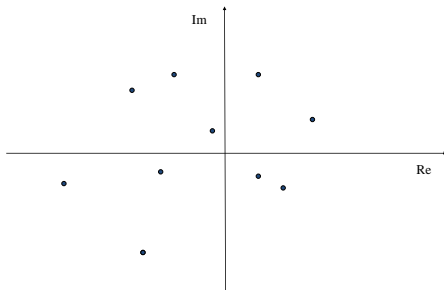


Другие примеры



Классическая (несимметрическая) спектральная задача $Av = \lambda v$

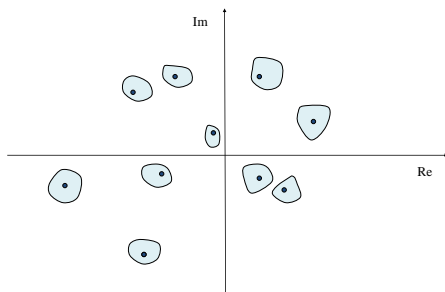
* Вычисление отдельных собственных значений (всех)



Классическая (несимметрическая) спектральная задача $A v = \lambda v$

* Вычисление отдельных собственных значений (всех)

* Не дает информации о спектральных пятнах $\sigma_{\min}(A - \lambda I) < \varepsilon$



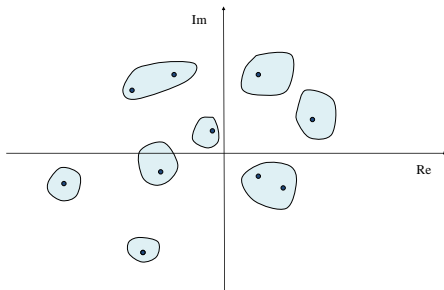
Классическая (несимметрическая) спектральная задача $Av = \lambda v$

- * Вычисление отдельных собственных значений (всех)

- * Не дает информации о спектральных пятнах

$$\sigma_{\min}(A - \lambda I) < \varepsilon$$

- * Нет удовлетворительных оценок точности



Пример 1.

$$C = \begin{pmatrix} 289 & 2064 & 336 & 128 & 80 & 32 & 16 \\ 1152 & 30 & 1312 & 512 & 288 & 128 & 32 \\ -29 & -2000 & 756 & 384 & 1008 & 224 & 48 \\ 512 & 128 & 640 & 0 & 640 & 512 & 128 \\ 1053 & 2256 & -504 & -384 & -756 & 800 & 208 \\ -287 & -16 & 1712 & -128 & 1968 & -30 & 2032 \\ -2176 & -287 & -1565 & -512 & -541 & -1152 & -289 \end{pmatrix}$$

$$P = \begin{pmatrix} 0 & 0 & 0 & 1 & 0 & 0 & 0 \\ 0 & 0 & 0 & 0 & 1 & 0 & 0 \\ 0 & 0 & 0 & 0 & 0 & 1 & 0 \\ 0 & 0 & 0 & 0 & 0 & 0 & 1 \\ 1 & 0 & 0 & 0 & 0 & 0 & 0 \\ 0 & 1 & 0 & 0 & 0 & 0 & 0 \\ 0 & 0 & 1 & 0 & 0 & 0 & 0 \end{pmatrix}$$

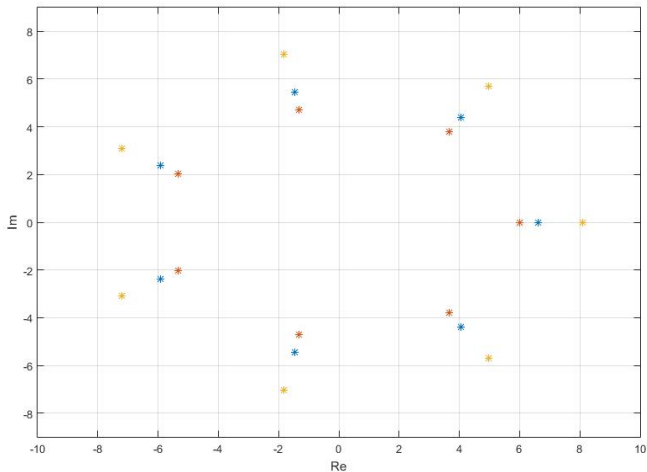
$$D = P^{-1}CP, F = P^{-1}DP$$

Пример 1.

Приближенный спектр C, D, F:

	C	D	F
λ_1	6.624	6.005	8.095
$\lambda_{2,3}$	$4.065 \pm 4.381i$	$3.651 \pm 3.784i$	$4.984 \pm 5.709i$
$\lambda_{4,5}$	$-1.472 \pm 5.449i$	$-1.331 \pm 4.699i$	$-1.825 \pm 7.052i$
$\lambda_{6,7}$	$-5.906 \pm 2.371i$	$-5.322 \pm 2.014i$	$-7.207 \pm 3.090i$

Точность вычислений с.зн. $\det(A - \lambda I) = 0$



Вычисленные собственные значения (3 варианта)

Пример 1.

$$5.05692952527466754 + 1.88360295723032634 \text{ I}$$

$$5.05692952527466754 - 1.88360295723032634 \text{ I}$$

$$1.16471266107358184 + 4.30944726731503725 \text{ I}$$

$$1.16471266107358184 - 4.30944726731503725 \text{ I}$$

$$-5.56861394159253198 + 0. \text{ I}$$

$$-3.43733521555170185 + 3.33613548241681146 \text{ I}$$

$$-3.43733521555170185 - 3.33613548241681146 \text{ I}$$

Пример 1.

$$\begin{bmatrix} 3.8532830483978779444 + 0. \text{ I} \\ 2.8238521130273679571 + 0. \text{ I} \\ 0.70253630946883795520 + 1.4932292471310019851 \text{ I} \\ 0.70253630946883795520 - 1.4932292471310019851 \text{ I} \\ -4.0910146566431130405 + 0. \text{ I} \\ -2.0005965618599042330 + 1.0411335550918708909 \text{ I} \\ -2.0005965618599042330 - 1.0411335550918708909 \text{ I} \end{bmatrix}$$

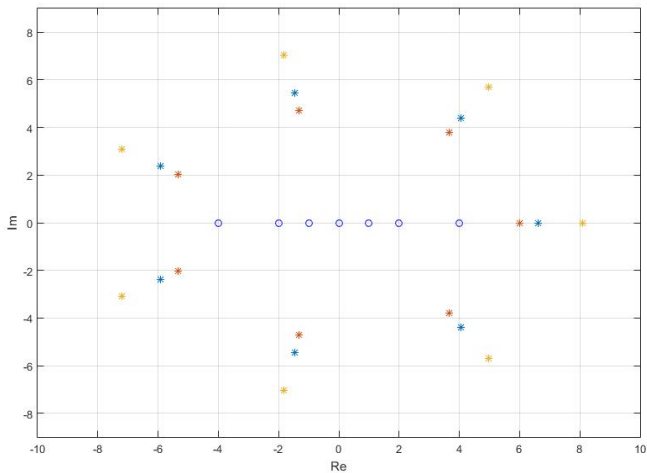
Пример 1.

$$\begin{bmatrix} -4.00000000000000000000000012784611786867668 + 0. \text{ I} \\ 3.99999999999999999999999986407376101334740 + 0. \text{ I} \\ -1.9999999999999999999999997403059434314090143 + 0. \text{ I} \\ 2.0000000000000000000000002677742499398011513 + 0. \text{ I} \\ 0.99999999999999999999999914961710350514871732 + 0. \text{ I} \\ 1.186746383871987344960841394566954906200 \cdot 10^{-20} + 0. \text{ I} \\ -1.0000000000000000000000008374545581999952990 + 0. \text{ I} \end{bmatrix}$$

Пример 1.

[illegible]

Точность вычислений с.зн. $\det(A - \lambda I) = 0$



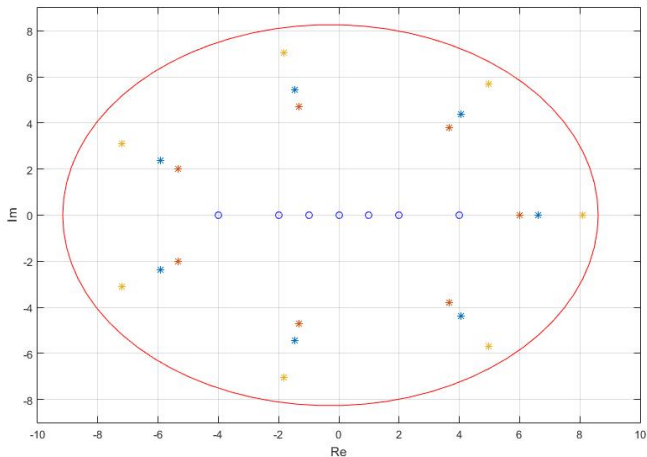
Точные собственные значения

$$C = L^{-1}RL$$

$$L = \begin{pmatrix} 1 & 0 & 0 & 0 & 0 & 0 & 0 \\ 0 & 1 & 0 & 0 & 0 & 0 & 0 \\ 1 & 0 & 1 & 0 & 0 & 0 & 0 \\ 0 & 0 & 0 & 1 & 0 & 0 & 0 \\ 0 & 0 & 1 & 0 & 1 & 0 & 0 \\ 1 & 0 & 0 & 0 & 0 & 1 & 0 \\ 0 & 1 & 1 & 0 & 1 & 0 & 1 \end{pmatrix}$$

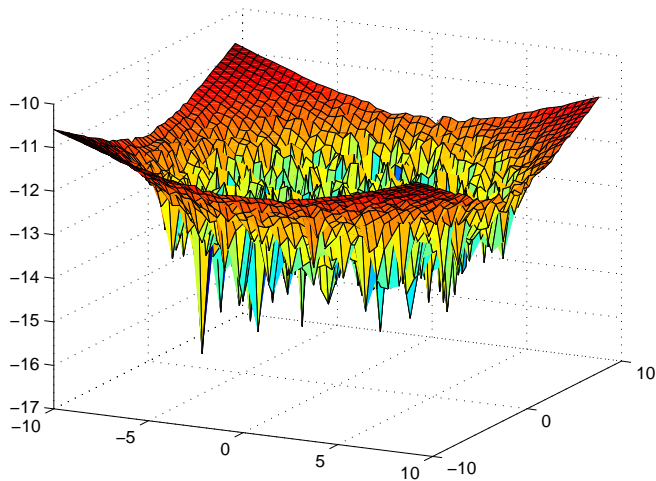
$$R = \begin{pmatrix} 1 & 2048 & 256 & 128 & 64 & 32 & 16 \\ 0 & -2 & 1024 & 512 & 256 & 128 & 32 \\ 0 & 0 & 4 & 512 & 1024 & 256 & 64 \\ 0 & 0 & 0 & 0 & 512 & 512 & 128 \\ 0 & 0 & 0 & 0 & -4 & 1024 & 256 \\ 0 & 0 & 0 & 0 & & 2 & 2048 \\ 0 & 0 & 0 & 0 & 0 & 0 & -1 \end{pmatrix}.$$

Точность вычислений с.зн. $\det(A - \lambda I) = 0$



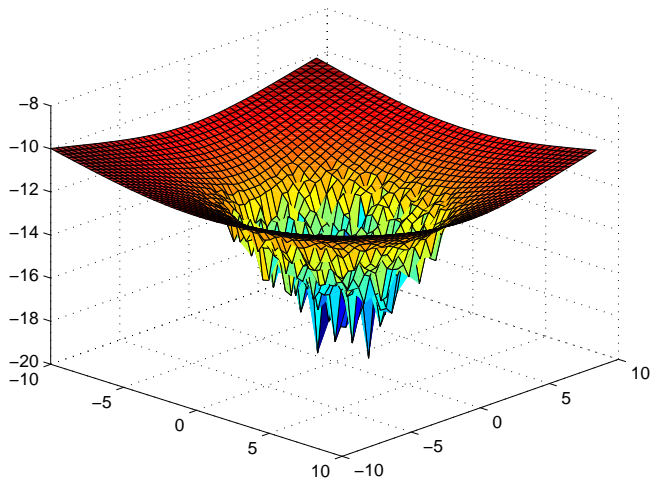
Спектральное пятно $\sigma_{\min}(A - \lambda I) < 10^{-16}$

Пример 1, продолжение



$$\log_{10}(\sigma_{\min}(C - \lambda I)).$$

Пример 1, продолжение



$$\log_{10}(\sigma_{\min}(\mathbf{R} - \lambda \mathbf{I})).$$

$y' = Ay$ - нулевое решение устойчиво $\Leftrightarrow \operatorname{Re} \lambda(A) < 0$

$y_n = Ay_{n-1}$ - нулевое решение устойчиво $\Leftrightarrow |\lambda(A)| < 1$

Пример устойчивой матрицы

$A - [25 \times 25]$

$$A = \begin{pmatrix} -1 & 10 & 0 & \dots & 0 \\ 0 & -1 & 10 & \ddots & \vdots \\ \vdots & & \ddots & \ddots & 0 \\ & & & -1 & 10 \\ 0 & \dots & & 0 & -1 \end{pmatrix}, \quad \Delta A = \begin{pmatrix} 0 & 0 & \dots & 0 \\ \vdots & \ddots & \ddots & \vdots \\ 0 & \dots & 0 & 0 \\ \delta & 0 & \dots & 0 \end{pmatrix}$$

$$\delta = 10 \cdot 8^{-25} \approx -2.6 \cdot 10^{-22}$$

$$\lambda_1(A) = \dots = \lambda_{25}(A) = -1$$

$$\tilde{\lambda}_j = \lambda_j(A + \Delta A)$$

Характеристический многочлен: $-(\tilde{\lambda} + 1)^{25} + \delta/10 \cdot 10^{25}$

$$\tilde{\lambda}_j = -1 + \frac{10}{8} \left(\cos \frac{2j\pi}{25} + i \sin \frac{2j\pi}{25} \right), \quad \tilde{\lambda}_{25} = -1 + \frac{10}{8} = +\frac{1}{4} > 0$$

Непрерывная зависимость

Theorem (Вейль)

Пусть $A = A^*$, $\Delta A = \Delta A^*$, $\tilde{A} = A + \Delta A$. Тогда

$$\begin{aligned} \lambda_1 \leq \lambda_2 \leq \dots \leq \lambda_M & \quad - \text{с.зн. } A, \\ \tilde{\lambda}_1 \leq \tilde{\lambda}_2 \leq \dots \leq \tilde{\lambda}_M & \quad - \text{с. зн. } \tilde{A} \end{aligned} \implies |\tilde{\lambda}_j - \lambda_j| \leq \|\Delta A\|$$

Theorem (Островский)

Пусть $A: |a_{ij}| \leq 10$; $\tilde{A} = A + \Delta A: |\Delta a_{ij}| \leq \delta$, тогда

$$|\tilde{\lambda}_j - \lambda_j| = 20(n+1)^2 \sqrt[n]{\frac{M^2 \delta}{10}}$$

Пример устойчивой матрицы

$A - [25 \times 25]$

$$A = \begin{pmatrix} -1 & 10 & 0 & \dots & 0 \\ 0 & -1 & 10 & \ddots & \vdots \\ \vdots & & \ddots & \ddots & 0 \\ & & & -1 & 10 \\ 0 & \dots & & 0 & -1 \end{pmatrix}, \quad \Delta A = \begin{pmatrix} 0 & 0 & \dots & 0 \\ \vdots & \ddots & \ddots & \vdots \\ 0 & \dots & 0 & 0 \\ \delta & 0 & \dots & 0 \end{pmatrix}$$

$$\delta = 10 \cdot 8^{-25} \approx -2.6 \cdot 10^{-22}$$

$$\lambda_1(A) = \dots = \lambda_{25}(A) = -1$$

$$\tilde{\lambda}_j = \lambda_j(A + \Delta A)$$

Характеристический многочлен: $-(\tilde{\lambda} + 1)^{25} + \delta/10 \cdot 10^{25}$

$$\tilde{\lambda}_j = -1 + \frac{10}{8} \left(\cos \frac{2j\pi}{25} + i \sin \frac{2j\pi}{25} \right), \quad \tilde{\lambda}_{25} = -1 + \frac{10}{8} = +\frac{1}{4} > 0$$

По теореме Островского

$$|\tilde{\lambda}_j - (-1)| \leq 20 \frac{26^2}{8} \sqrt[25]{625} \approx 2186$$

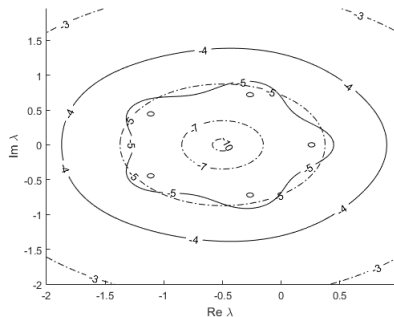
Пример изменения ε -спектра

A =

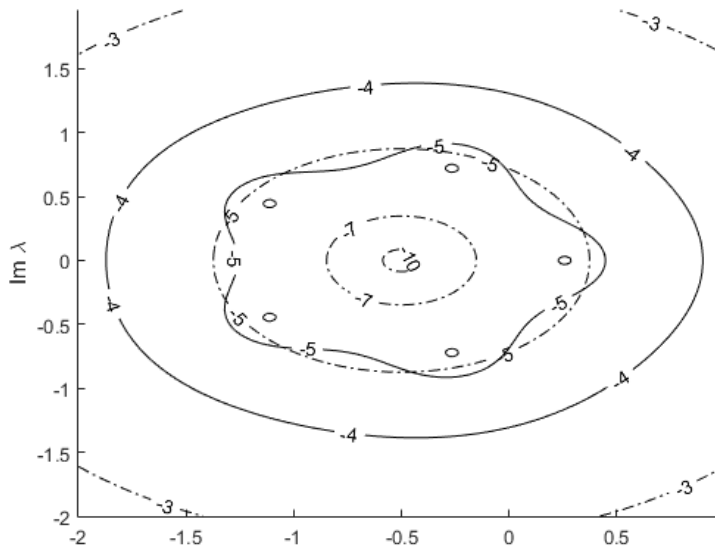
$$\begin{pmatrix} -0.5 & 15 & & & \\ & -0.5 & 15 & & \\ & & -0.5 & 15 & \\ & & & -0.5 & 15 \\ & & & & -0.5 \end{pmatrix}$$

B =

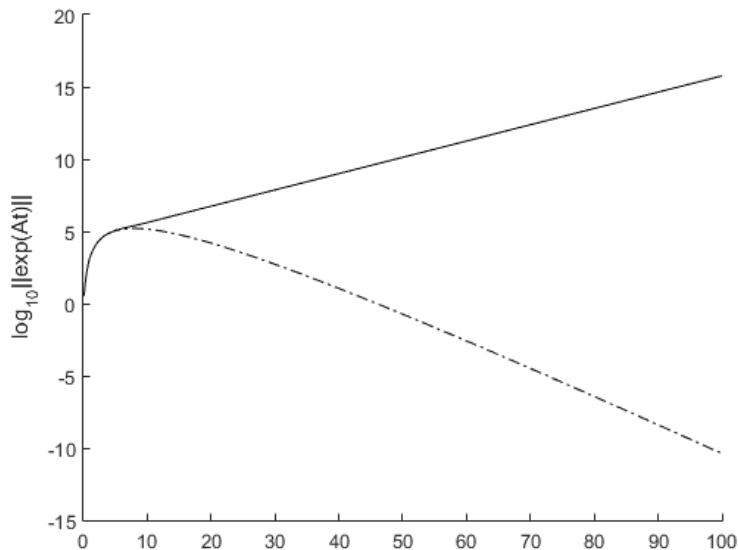
$$\begin{pmatrix} -0.5 & 15 & & & \\ & -0.5 & 15 & & \\ & & -0.5 & 15 & \\ & & & -0.5 & 15 \\ 5 \cdot 10^{-6} & & & & -0.5 \end{pmatrix}$$



Пример изменения ε -спектра



Поведение матричной экспоненты

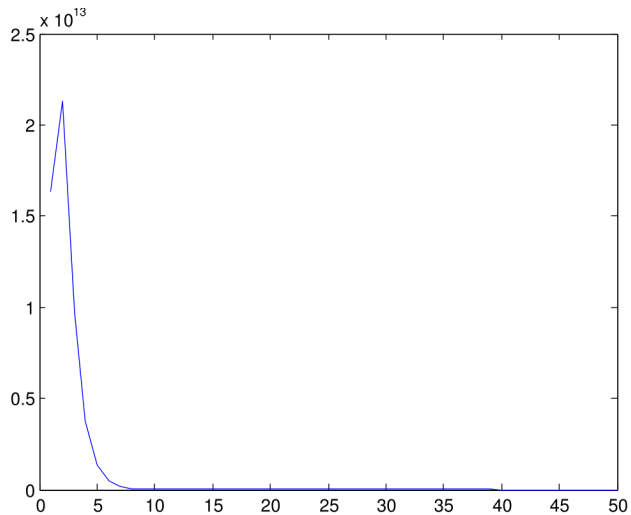


Пример: поведение матричной экспоненты

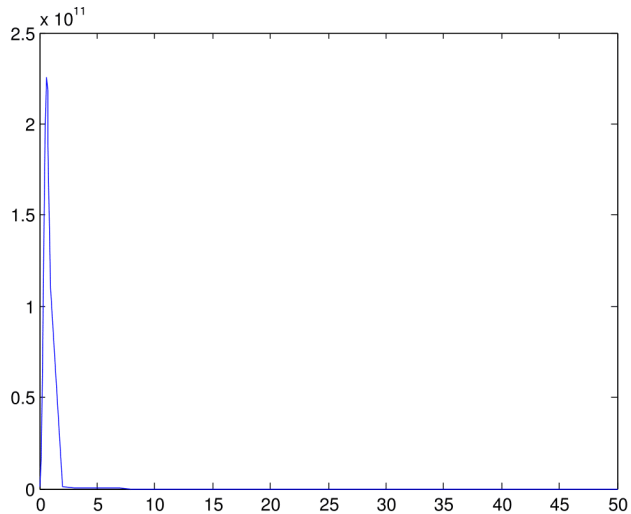
$$R = \begin{pmatrix} 1 & 2048 & 256 & 128 & 64 & 32 & 16 \\ 0 & -2 & 1024 & 512 & 256 & 128 & 32 \\ 0 & 0 & 4 & 512 & 1024 & 256 & 64 \\ 0 & 0 & 0 & 0 & 512 & 512 & 128 \\ 0 & 0 & 0 & 0 & -4 & 1024 & 256 \\ 0 & 0 & 0 & 0 & & 2 & 2048 \\ 0 & 0 & 0 & 0 & 0 & 0 & -1 \end{pmatrix}.$$

$$R_1 = R - 5I, \quad R_2 = R - 10I$$

Пример: $\|\exp(R_1 t)\|$



Пример: $\|\exp(R_2 t)\|$

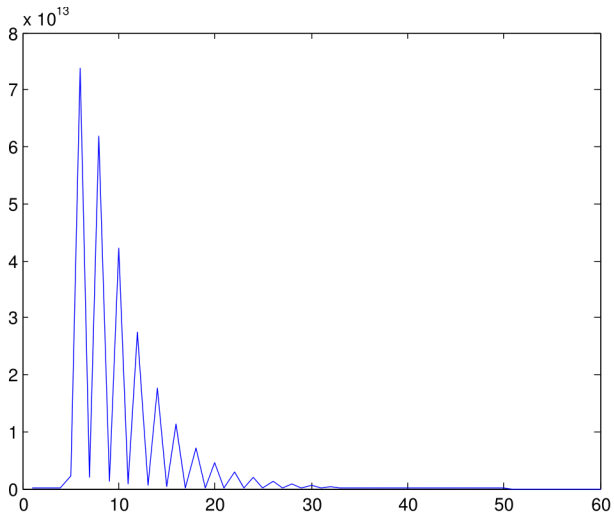


Пример: поведение матричных степеней

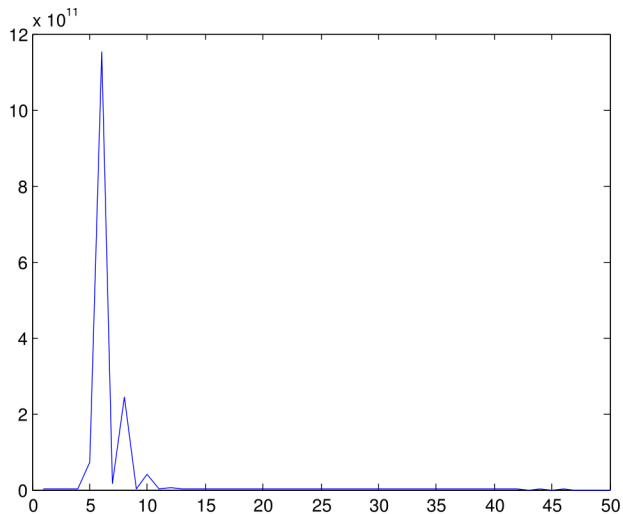
$$R = \begin{pmatrix} 1 & 2048 & 256 & 128 & 64 & 32 & 16 \\ 0 & -2 & 1024 & 512 & 256 & 128 & 32 \\ 0 & 0 & 4 & 512 & 1024 & 256 & 64 \\ 0 & 0 & 0 & 0 & 512 & 512 & 128 \\ 0 & 0 & 0 & 0 & -4 & 1024 & 256 \\ 0 & 0 & 0 & 0 & & 2 & 2048 \\ 0 & 0 & 0 & 0 & 0 & 0 & -1 \end{pmatrix}.$$

$$R_3 = 1/5 R, R_4 = 1/10 R$$

Пример: $\|R_3^n\|$

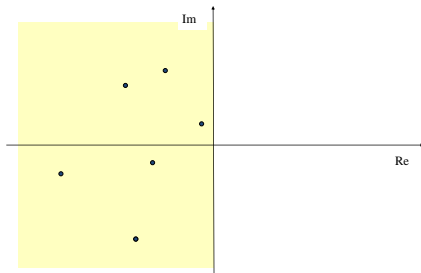


Пример: $\|R_4^n\|$



Практическое применение спектральной проблемы

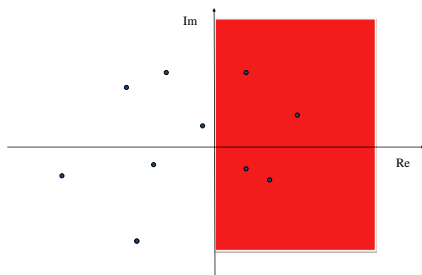
Устойчивость решений системы $\frac{d}{dt}y = Ay$



* Все ли с.зн находятся в области устойчивости

Практическое применение спектральной проблемы

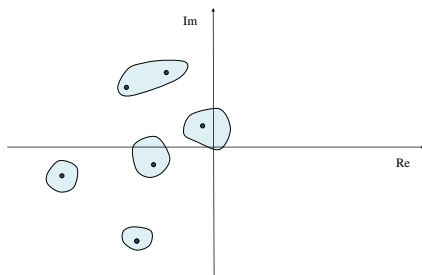
Неустойчивость решений системы $\frac{d}{dt}y = Ay$



* Все ли с.зн находятся в области устойчивости?

Практическое применение спектральной проблемы

НЕ ???устойчивость решений системы $\frac{d}{dt}y = Ay$

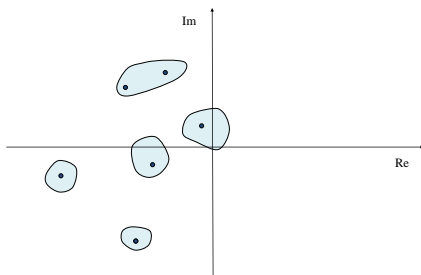


* Все ли с.зн находятся в области устойчивости?

* Как влияет на устойчивость расположение спектральных пятен?

Практическое применение спектральной проблемы

НЕ ???устойчивость решений системы $\frac{d}{dt}y = Ay$



* Все ли с.зн находятся в области устойчивости?

* Как влияет на устойчивость расположение спектральных пятен?

* Насколько точным может быть ответ?

Практические вопросы - классические ответы

* Все ли с.зн находятся в области устойчивости?

* Как влияет на устойчивость расположение спектральных пятен?

* Насколько точным может быть ответ?

* Вычисление отдельных собственных значений (всех)

* Не дает информации о спектральных пятнах

$$\sigma_{\min}(A - \lambda I) < \varepsilon$$

* Нет удовлетворительных оценок точности

Практические вопросы - классические ответы

* Все ли с.зн. находятся в области устойчивости?

* Как влияет на устойчивость расположение спектральных пятен?

* Насколько точным может быть ответ?

* Вычисление отдельных собственных значений (всех)

* Не дает информации о спектральных пятнах

$$\sigma_{\min}(A - \lambda I) < \varepsilon$$

* Нет удовлетворительных оценок точности

ВЫВОД: постановку задачи необходимо менять!

Неустойчивость формы Жордана

$$\begin{pmatrix} \lambda & 1 \\ 0 & \lambda \end{pmatrix} \xRightarrow{\text{возмущение}} \begin{pmatrix} \lambda & 1 \\ 0 & \lambda + \varepsilon \end{pmatrix} \xRightarrow{\text{диагонализуемость}} \begin{pmatrix} \lambda & 0 \\ 0 & \lambda + \varepsilon \end{pmatrix}$$

Theorem

Множество диагонализуемых матриц всюду плотно в пространстве матриц.

Постановка задачи дихотомии матричного спектра

- * Определить, есть ли на заданной кривой собственные значения матрицы A (матричного пучка $A - \lambda B$), т.е. вычислить критерий дихотомии.
- * Если на кривой с.зн нет, то вычислить базисы инвариантных (в случае матрицы A) или приводящих (в случае матричного пучка $A - \lambda B$) подпространств.
- * Оценить расстояние от спектра до кривой
- * Привести матрицу (пучок) к клеточно-диагональной форме